

(66) フィルダムの振動性状について

東北大学工学部 正員 ○ 柳沢 栄司  
同 学生員 田村 勲

1. はしがき

近年、施工機械の発達に伴い、きわめて大規模なフィルダムが建設される傾向にあるが、わが国のような地震国では地震時における安全性が常に問題になってくる。フィルダムは地盤の比較的良くない地帯にも建設され得るので、その振動性状を知ることは耐震設計上欠くべからざることである。ここではフィルダムの地震時応答の求め方の一例と実測結果との比較およびフィルダムの振動性状に与える地盤振動の影響について考察を行うものである。

2. 堤体の地震応答

入力地震波があらかじめ知られている場合には、堤体の応答はいわゆるモーダルアナリシスによって計算することができる。いま、簡単のために二等辺三角形の堤体がセー断振動をとするものと仮定すると $i$ 次の割断次数を $\beta_i$ として地盤に $\ddot{y}(t)$ なる加速度の地震入力がある場合、堤体のレスポンスは

$$y(t) = - \sum_{i=1}^n \frac{\beta_i}{\omega_{di}} \phi_i \int_0^t \ddot{y}(\tau) e^{-n_i(t-\tau)} \sin \omega_{di}(\tau-\tau) d\tau \quad (1)$$

で表わされる。ここで、 $\omega_i$ は $i$ 次の固有円振動数、 $n_i$ は減衰定数、 $\phi_i$ は $i$ 次の固有変数であり、また

$$n_i = h \omega_i$$

$$\omega_{di} = \sqrt{\omega_i^2 - n_i^2}$$

である。松村によれば、セー断振動理論より求めた固有振動モードは、剛性が深さ方向に一定の場合には

$$\phi_i = J_0 \left( \frac{z_i^0 z}{H} \right) \quad J_0: 0\text{次のベッセル函数}, \quad z_i^0: J_0(z) = 0 \text{を満足する} i \text{番目の根}$$

で与えられる、また剛性が深さに比例する場合には ( $G = G_0 z$ )

$$\phi_i = \frac{1}{z_i^1} \sqrt{\frac{H}{z}} J_1 \left( z_i^1 \sqrt{\frac{z}{H}} \right) \quad J_1: 1\text{次のベッセル函数}, \quad z_i^1: J_1(z) = 0 \text{を満足する} i \text{番目の根}$$

で与えられる。この時の割断次数はそれぞれ

$$\beta_i = \frac{\int_0^H z J_0 \left( z_i^0 \frac{z}{H} \right) dz}{\int_0^H \left\{ J_0 \left( z_i^0 \frac{z}{H} \right) \right\}^2 dz} = \frac{2}{z_i^0 J_1(z_i^0)}$$

$$\beta_i = \frac{\int_0^H z J_1 \left( z_i^1 \sqrt{\frac{z}{H}} \right) dz}{\int_0^H \left\{ J_1 \left( z_i^1 \sqrt{\frac{z}{H}} \right) \right\}^2 dz}$$

で与えられるものとする。1次、2次および3次の固有振動に対する減衰係数 $h$ をそれぞれ0.1, 0.2 および0.3にとった場合、求められる応答はきわめて実測値に近いこと知られる。図-1はあいのダムにおける地震観測結果と応答計算結果のフーリエスペクトラを示すものであるが、堤頂部分のスペクトラは周期の比較的大きい側をのぞいて、極めてよく似ていることが知られる。

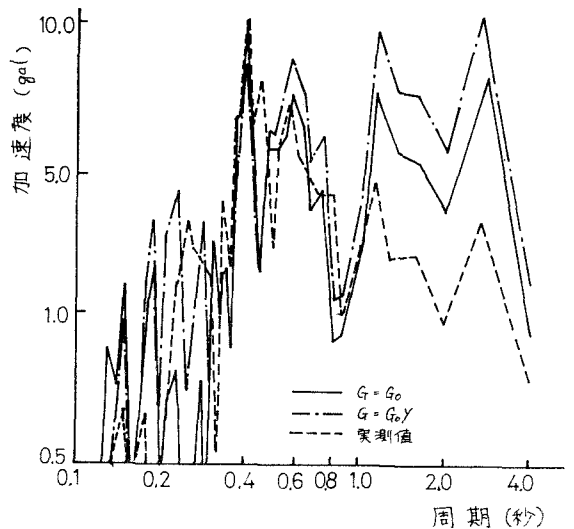
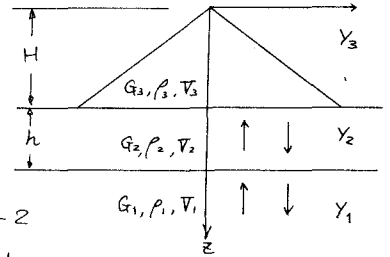


図-1 フーリエ スペクトラ

3. 堤体の振動に及ぼす地表層の影響について

いま、堤体が比較的やわらかな地表層の上に建設されているものとする。岩盤から入射した地震波は一部反射、一部透過して堤体まで上昇し、反射して下降していく。このような上昇する波と下降する波を考えると岩盤における変位  $Y_1$ 、地表層における変位  $Y_2$ 、および堤体の変位  $Y_3$  はそれぞれ



$$Y_1 = A_1 \cos \left\{ p \left( t - \frac{z-H-h}{V_1} \right) - \phi_1 \right\} + B_1 \cos \left\{ p \left( t + \frac{z-H-h}{V_1} \right) - \phi_2 \right\} \quad (2)$$

$$Y_2 = A_2 \cos \left\{ p \left( t - \frac{z-H}{V_2} \right) - \psi_1 \right\} + B_2 \cos \left\{ p \left( t + \frac{z-H}{V_2} \right) - \psi_2 \right\} \quad (3)$$

$$Y_3 = Y_2 + \xi \quad \xi = \sum F_i(z) Q_i(t) \quad (4)$$

とあることかである。

$$F_i(z) =$$

$$Q_i(t) = C_i (D_i \cos pt + E_i \sin pt)$$

境界条件は

$$\textcircled{1} G_3 \frac{\partial Y_3}{\partial z} + \eta \frac{\partial^2 Y_3}{\partial t^2 \partial z} = G_2 \frac{\partial Y_2}{\partial z} \quad (z=H)$$

$$\textcircled{2} Y_1 = Y_2 \quad (z=H+h)$$

$$\textcircled{3} G_1 \frac{\partial Y_1}{\partial z} = G_2 \frac{\partial Y_2}{\partial z} \quad (z=H+h)$$

$$C_i = \frac{H_i \left( \frac{P}{P_i} \right)^2}{D_i^2 + E_i^2} U_0$$

$$H_i = \frac{z}{z_i J_1(z_i)}$$

$$D_i = 1 - \left( \frac{P}{P_i} \right)^2 \quad E_i = \frac{\eta P}{G}$$

であるから、それぞれ境界条件と式(2),(3),(4)とから

$$\begin{cases} A_2 \cos \psi_1 - B_2 \cos \psi_2 = \alpha_2 C_i E_i \left( \frac{P}{P_i} \right) J_1(z_i) = k_2 U_0 \\ B_2 \sin \psi_2 - A_2 \sin \psi_1 = \alpha_2 C_i (D_i + E_i^2) \left( \frac{P}{P_i} \right) J_1(z_i) = k_2 U_0 \end{cases} \quad (5)$$

$$\begin{cases} A_1 \cos \phi_1 + B_1 \cos \phi_2 = A_2 \cos \left( \psi_1 + \frac{ph}{V_2} \right) + B_2 \cos \left( \psi_2 - \frac{ph}{V_2} \right) \\ A_1 \sin \phi_1 + B_1 \sin \phi_2 = A_2 \sin \left( \psi_1 + \frac{ph}{V_2} \right) + B_2 \sin \left( \psi_2 - \frac{ph}{V_2} \right) \end{cases} \quad (6)$$

$$\begin{cases} A_1 \cos \phi_1 - B_1 \cos \phi_2 = \alpha_2 \{ A_2 \cos \left( \psi_1 + \frac{ph}{V_2} \right) - B_2 \cos \left( \psi_2 - \frac{ph}{V_2} \right) \} \\ A_1 \sin \phi_1 - B_1 \sin \phi_2 = \alpha_1 \{ A_2 \sin \left( \psi_1 + \frac{ph}{V_2} \right) - B_2 \sin \left( \psi_2 - \frac{ph}{V_2} \right) \} \end{cases} \quad (7)$$

いま、入力波の振幅  $A_1$  が既知であり、かつ、位相差はある時長を規準とすればよいことから、 $\phi_1 = 0$  とすれば未知数の数は6個になり、上の連立二階式は解くことができる。地表面 ( $z=H$ ) での振幅を  $U_0$  とい

ては(4)式を求めてあるので、 $z=H$ における(3)式の絶対振幅が  $U_0$  となる条件から、 $U_0$  は  $A_1$  について求められるので、振幅をすべて  $A_1$  について書くことができる。いま、堤頂における振幅を  $U_1$  とし、これと  $A_1$  との比を求めたものが、図-3 である。2.5 Hz 附近の堤体の1次振動および4.2 Hz 附近の堤体の2次振動の他に6.8 Hz 附近に地盤振動の影響が表われている。今後、更にパラメータを変化させて応答特性を求めれば地盤振動の影響が明確に求められるであろう。

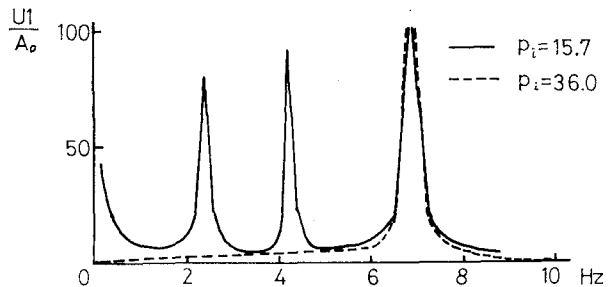


図-3 堤頂における振幅比

参考文献

- 1) 松村琢治: 地震動による土堰堤の変形, 土研研究所報告 第28号中3冊 pp 1~67 (1935)
- 2) 岡本義三: 耐震工学